

Organizatori



SVEUČILIŠTE U SPLITU
FAKULTET GRAĐEVINARSTVA,
ARHITEKTURE I GEODEZIJE



Hrvatska komora
inženjera građevinarstva

WEBINAR

"SAVJETOVANJE 4: OBNOVA ZAGREBA NAKON POTRESA – ZAGREBU OD SPLITA"



Glavni pokrovitelj



**PROCJENA POTRESNE RANJIVOSTI I
NOSIVOSTI ZGRADA KAO
PREDUVJET SPRJEČAVANJA,
UPRAVLJANJA I PREVLAĐAVANJA
POTRESNOG RIZIKA U POVIJESNIM
GRADSKIM SREDIŠTIMA**

Prof. dr. sc. Željana Nikolić
Sveučilište u Splitu, FGAG
Katedra za teoriju konstrukcija
Split, Hrvatska



MOTIVACIJA

Gradska središta s velikim brojem stanovnika i posjetilaca i zgradama starima po nekoliko stoljeća / desetljeća mogu biti izvor velikih ljudskih i materijalnih gubitaka u slučaju nastanka potresa.



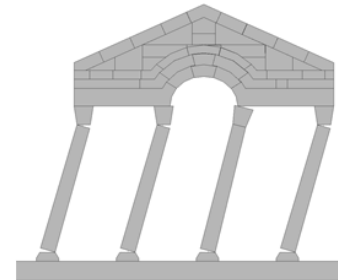
ANALIZA POTRESNE OTPORNOSTI ANTIČKIH GRAĐEVINA



SeismoNuMod: Razvoj numeričkih modela armirano-betonskih i kamenih zidanih konstrukcija izloženih potresnom opterećenju zasnovanih na diskretnim pukotinama

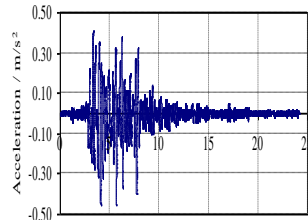


Sep. 29 2016 13:25:33

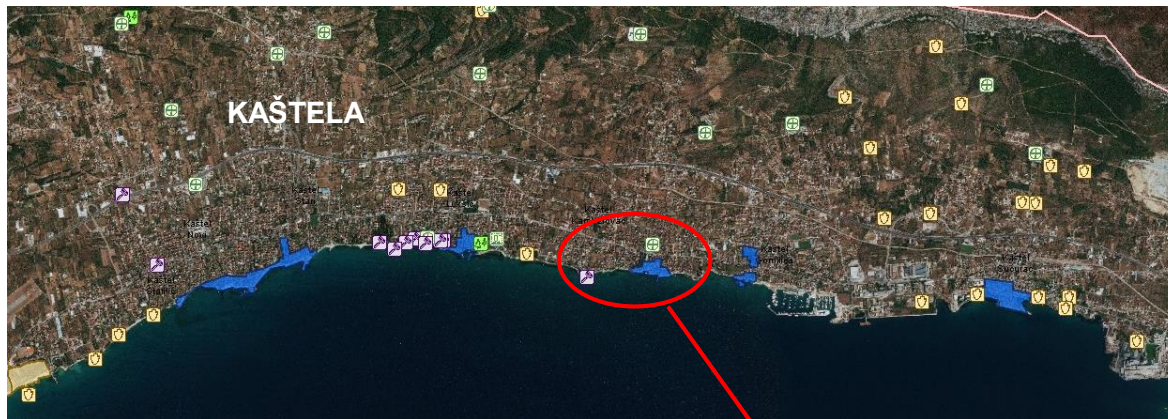


Numeričko modeliranje i ispitivanje kamenih zidanih konstrukcija (model konstrukcije Protiron)

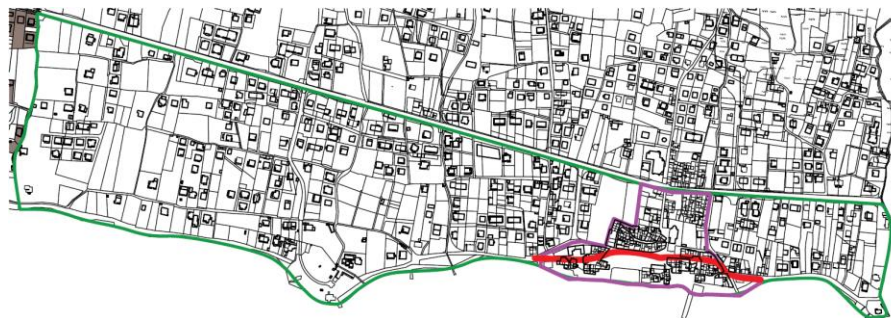
PMO-GATE: Preventing, Managing and Overcoming Natural-Hazards Risks to mitiGATE economic and social impact



ANALIZA PODRUČJA



KAŠTEL KAMBELOVAC



IDENTIFIKACIJA ARHITEKTONSKIH, KONSTRUKCIJSKIH I MATERIJALNIH KARAKTERISTIKA ZGRADA

- Klasifikacija zgrada prema njihovim konstrukcijskim i materijalnim karakteristikama (razdoblje izgradnje)
- Pronalaženje postojeće tehničke dokumentacije u arhivima
- Snimak postojećeg stanja za zgrade bez tehničke dokumentacije: terensko istraživanje, arhitektonski snimak, utvrđivanje karakteristika konstrukcije i svojstava materijala (vizualni pregled, infracrvena termografija, procjena temeljem razdoblja izgradnje)
- Google map, Street view, Snimak područja do 1968. godine
- Formiranje baze podataka o zgradama
- Geodetski snimak područja



TIPIČNE ZGRADE



OČUVANOST, STANJE OŠTEĆENJA



METODOLOGIJA ZA OCJENU POTRESNE RANJIVOSTI ZGRADA

Metoda indeksa ranjivosti za zidane zgrade

- Benedetti, Petrini, 1983; GNDT 1993 s modifikacijama (SAVE project)
- Utjecaj propisa za protupotresnu gradnju u Hrvatskoj
- Primjena: zgrade građene od nepravilnih i pravilnih kamenih blokova, zidane zgrade od betonskih i glinenih blokova s i bez serklaža

PARAMETAR		BODOVI (P)				TEŽINSKI KOE.F.W
		A	B	C	D	
1	VRSTA I ORGANIZACIJA KONSTRUKCIJSKOG SUSTAVA	0	5	20	45	1.50
2	KVALITETA KONSTRUKCIJSKOG SUSTAVA	0	5	25	45	0.25
3	NORMIRANA OTPORNOST	0	5	25	45	1.50
4	POLOŽAJ ZGRADE I TEMELJI	0	5	25	45	0.75
5	STROPNE KONSTRUKCIJE	0	5	15	45	1.00
6	TLOCRTNI OBLIK	0	5	25	45	0.50
7	VISINSKA PRAVLINOST	0	5	25	45	1.00
8	NAJVEĆA UDALJENOST IZMEĐU ZIDOVA	0	5	25	45	0.25
9	KROV	0	15	25	45	0.50
10	NEKONSTRUKTIVNI ELEMENTI	0	0	25	45	0.25
11	STANJE OČUVANOSTI	0	5	25	45	1.00

INDEKS POTRESNE RANJIVOSTI :

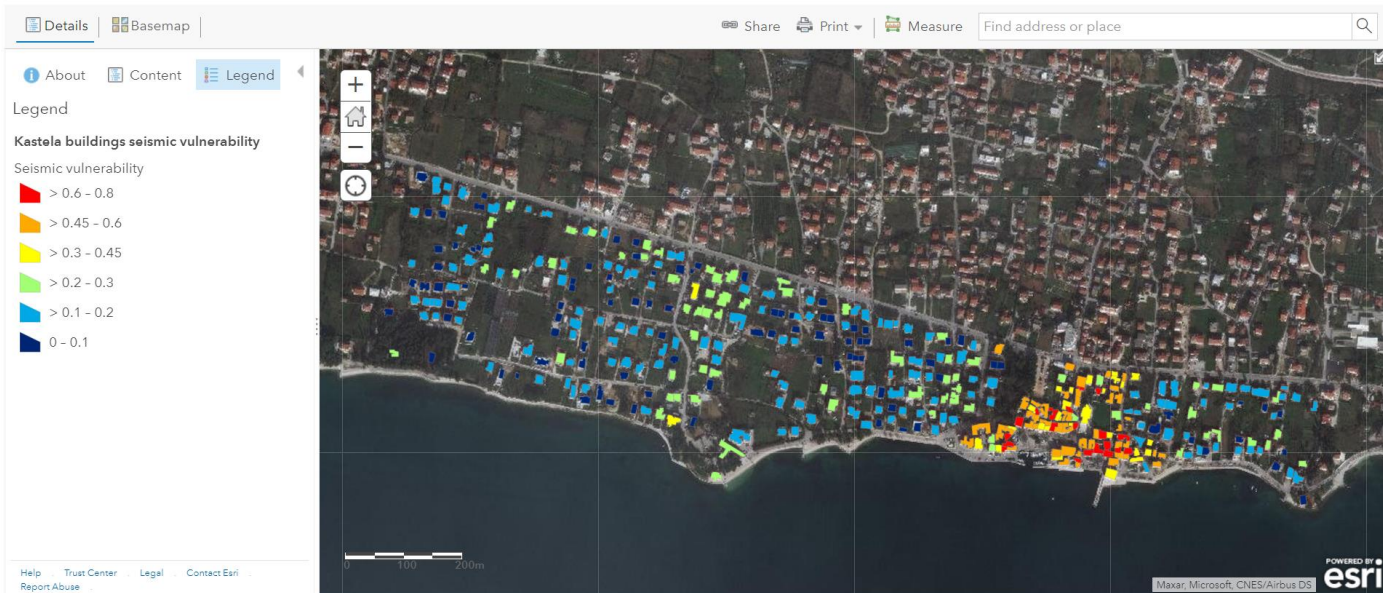
$$I_v = \sum_{i=1}^{11} P_i W_i$$

59.0

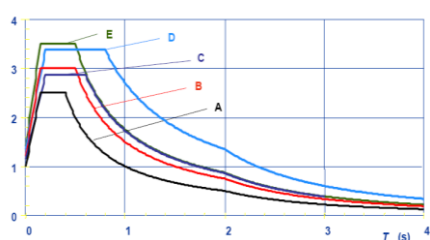
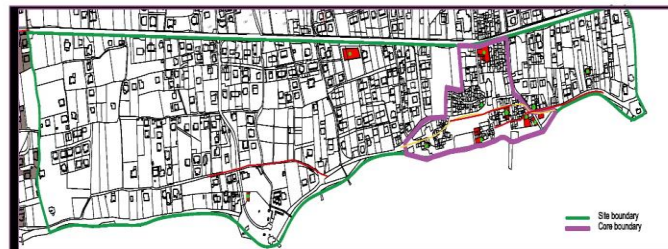
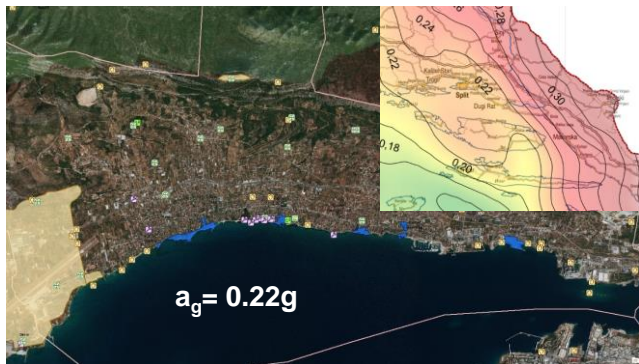
INDEKSI POTRESNE RANJIVOSTI ZGRADA

Home ▾ Kastela buildings seismic vulnerability

Modify Map ⓘ Sign In



POTRESNA OPASNOST NA HR TEST PODRUČJU



Ground type	S	T_B (s)	T_C (s)	T_D (s)
A	1,0	0,15	0,4	2,0
B	1,2	0,15	0,5	2,0
C	1,15	0,20	0,6	2,0
D	1,35	0,20	0,8	2,0
E	1,4	0,15	0,5	2,0



**Geofizičko istraživanje -
Nacionalni institut za
oceanografiju i
eksperimentalnu geofiziku,
OGS Trieste**



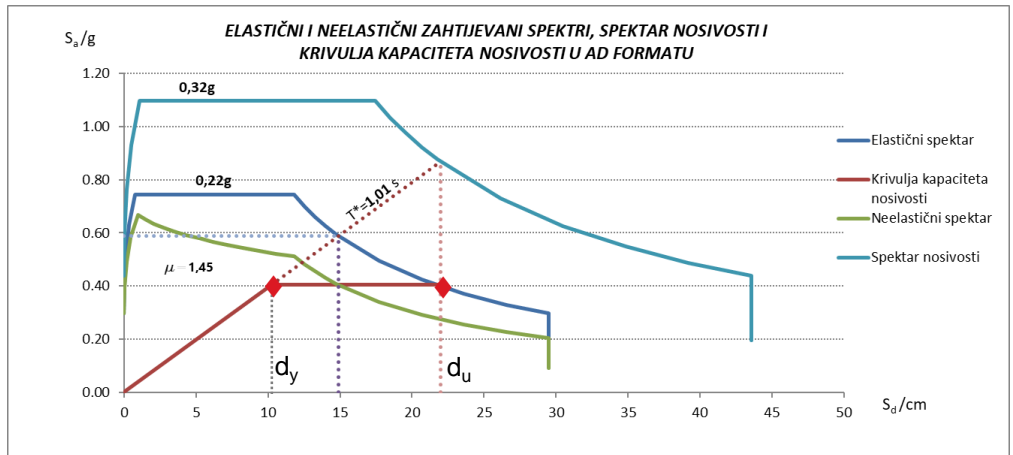
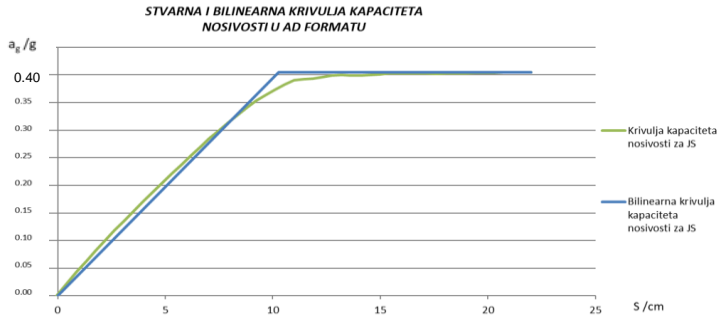
OCJENJIVANJE POTRESNE OTPORNOSTI ZGRADA

HRN EN 1998-3 – Projektiranje potresne otpornosti konstrukcija – 3. dio: Ocjenjivanje i obnova zgrada

NELINEARNE METODE PRORAČUNA

- Nelinearni statički proračun
- Nelinearni proračun primjenom vremenskog zapisa

NELINEARNI STATIČKI PRORAČUN



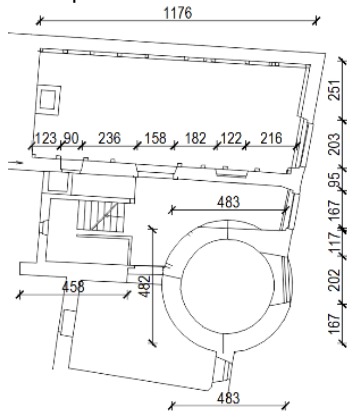
Kula Cambi

Building name:	Cambi tower
Building type:	Public
Structure type:	stone walls, wooden floors, wooden roof
Construction period:	XV century
Changes of the structure:	Residential part on the north side added in the XVIII century
Period of changes:	XVIII
Data collection methods:	Visual inspection, architectural measurements, standards at the time of construction, iphotos, google maps, geoportal.dgu
Location:	c.p. *32; c.m. Kaštel Kambelovac

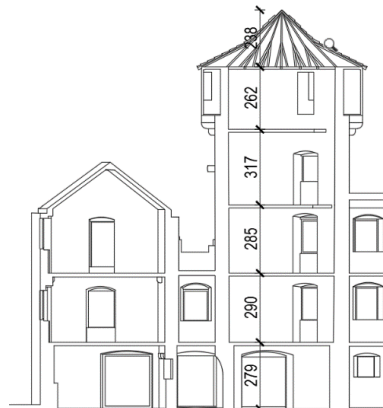


*TREMURI software, S.T.A.DATA, Professional version, Torino, 2019.

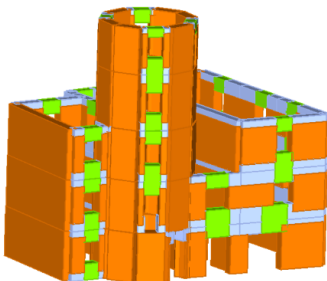
Ground floor plan:



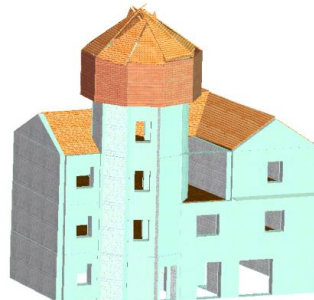
Section cut:



Structural model



Rendered model:



REZULTATI ZA JEDNOLIKU, LINEARNU I MODALNU RASPODJELU

No.	Insert in report	Seism dir.	Seismic load	Eccentricity [cm]	dt NC [cm]	dm NC [cm]	dt SD [cm]	dm SD [cm]	d*y DL [cm]	α NC	α SD	α DL	dm/dt NC
1	<input checked="" type="checkbox"/>	+X	Uniform	0,00	1,68	8,80	1,68	6,60	0,27	4,068	3,120	1,059	5,238
2	<input checked="" type="checkbox"/>	+X	Static forces	0,00	2,81	8,55	2,81	6,41	0,19	2,882	2,181	0,428	3,043
3	<input checked="" type="checkbox"/>	-X	Uniform	0,00	1,79	8,55	1,79	6,41	0,18	4,007	3,057	0,764	4,777
4	<input checked="" type="checkbox"/>	-X	Static forces	0,00	2,86	8,45	2,86	6,34	0,14	2,841	2,146	0,319	2,955
5	<input checked="" type="checkbox"/>	+Y	Uniform	0,00	4,38	14,45	4,38	10,84	0,66	3,227	2,428	0,722	3,299
6	<input checked="" type="checkbox"/>	+Y	Static forces	0,00	5,35	1,95	5,35	1,46	0,86	0,365	0,273	0,726	0,364
7	<input checked="" type="checkbox"/>	-Y	Uniform	0,00	2,46	1,45	2,46	1,09	0,47	0,672	0,555	1,092	0,589
8	<input checked="" type="checkbox"/>	-Y	Static forces	0,00	3,45	1,25	3,45	0,94	0,36	0,408	0,324	0,580	0,362
9	<input checked="" type="checkbox"/>	+X	Uniform	75,90	1,76	8,90	1,76	6,67	0,29	3,955	3,034	1,074	5,057
10	<input checked="" type="checkbox"/>	+X	Uniform	-75,90	1,60	8,90	1,60	6,67	0,28	4,173	3,206	1,155	5,563
11	<input checked="" type="checkbox"/>	+X	Static forces	75,90	2,96	8,65	2,96	6,49	0,20	2,781	2,104	0,417	2,922
12	<input checked="" type="checkbox"/>	+X	Static forces	-75,90	2,71	8,55	2,71	6,41	0,18	2,969	2,248	0,446	3,155
13	<input checked="" type="checkbox"/>	-X	Uniform	75,90	1,94	8,55	1,94	6,41	0,16	3,828	2,913	0,648	4,407
14	<input checked="" type="checkbox"/>	-X	Uniform	-75,90	1,47	8,55	1,47	6,41	0,17	4,534	3,467	0,899	5,816
15	<input checked="" type="checkbox"/>	-X	Static forces	75,90	3,04	8,45	3,04	6,34	0,13	2,700	2,037	0,271	2,780
16	<input checked="" type="checkbox"/>	-X	Static forces	-75,90	2,44	8,40	2,44	6,30	0,12	3,239	2,450	0,376	3,443
17	<input checked="" type="checkbox"/>	+Y	Uniform	62,43	5,05	16,06	5,05	12,04	0,77	3,177	2,383	0,684	3,180
18	<input checked="" type="checkbox"/>	+Y	Uniform	-62,43	3,74	4,80	3,74	3,60	0,61	1,263	0,966	0,836	1,283
19	<input checked="" type="checkbox"/>	+Y	Static forces	62,43	5,88	2,10	5,88	1,58	0,93	0,357	0,268	0,711	0,357
20	<input checked="" type="checkbox"/>	+Y	Static forces	-62,43	4,03	1,45	4,03	1,09	0,64	0,360	0,270	0,716	0,360
21	<input checked="" type="checkbox"/>	-Y	Uniform	62,43	2,61	1,45	2,61	1,09	0,45	0,635	0,521	0,998	0,556
22	<input checked="" type="checkbox"/>	-Y	Uniform	-62,43	2,05	1,55	2,05	1,16	0,48	0,825	0,689	1,317	0,756
23	<input checked="" type="checkbox"/>	-Y	Static forces	62,43	3,57	1,15	3,57	0,86	0,32	0,360	0,285	0,493	0,322
24	<input checked="" type="checkbox"/>	-Y	Static forces	-62,43	3,05	1,05	3,05	0,79	0,34	0,411	0,334	0,657	0,344

Display analysis details



Insert all analysis in report

Delete analysis

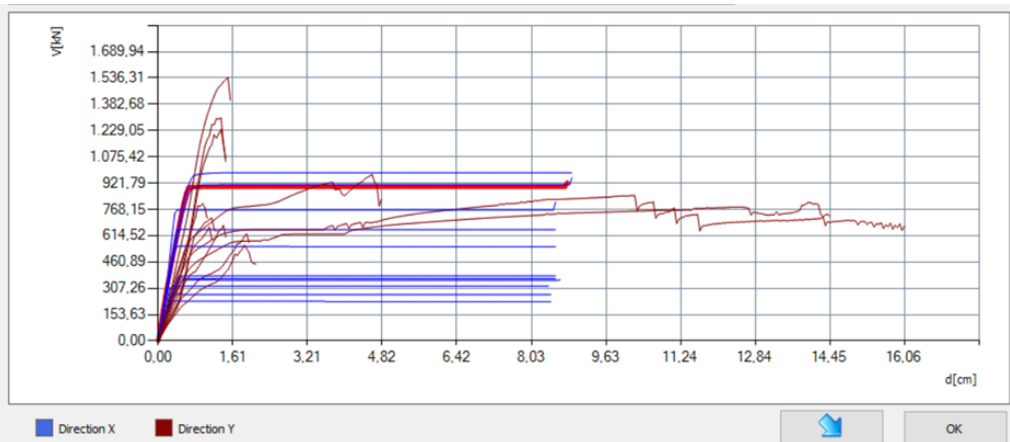
Colour legend

- Satisfied
- Not satisfied
- Failure to decay
- Self weight not converging
- Most significant analysis

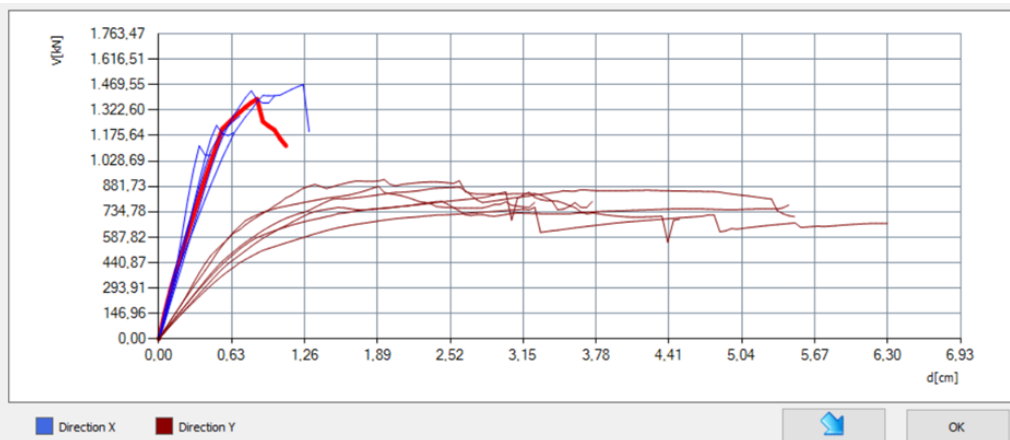
No.	Insert in report	Seism dir.	Seismic load	Eccentricity [cm]	dt NC [cm]	dm NC [cm]	dt SD [cm]	dm SD [cm]	d*y DL [cm]	α NC	α SD	α DL	dm/dt NC
2	<input checked="" type="checkbox"/>	+X	Modal distribution	0,00	1,01	1,10	1,01	0,82	0,25	1,045	0,900	1,511	1,089
4	<input checked="" type="checkbox"/>	-X	Modal distribution	0,00	0,99	0,65	0,99	0,49	0,20	0,804	0,712	1,365	0,657
6	<input checked="" type="checkbox"/>	+Y	Modal distribution	0,00	3,61	4,50	3,61	3,38	0,50	1,228	0,940	0,727	1,247
8	<input checked="" type="checkbox"/>	-Y	Modal distribution	0,00	3,48	5,50	3,48	4,12	0,52	1,526	1,167	0,794	1,580
11	<input checked="" type="checkbox"/>	+X	Modal distribution	75,90	1,08	1,30	1,08	0,97	0,33	1,108	0,951	1,670	1,204
12	<input checked="" type="checkbox"/>	+X	Modal distribution	-75,90	0,97	0,70	0,97	0,52	0,23	0,851	0,754	1,477	0,722
15	<input checked="" type="checkbox"/>	-X	Modal distribution	75,90	1,02	1,00	1,02	0,75	0,28	0,992	0,863	1,581	0,980
16	<input checked="" type="checkbox"/>	-X	Modal distribution	-75,90	0,86	0,45	0,86	0,34	0,14	0,725	0,650	1,258	0,523
19	<input checked="" type="checkbox"/>	+Y	Modal distribution	62,43	4,23	6,30	4,23	4,73	0,56	1,471	1,113	0,651	1,489
20	<input checked="" type="checkbox"/>	+Y	Modal distribution	-62,43	2,86	3,25	2,86	2,44	0,36	1,118	0,870	0,754	1,136
23	<input checked="" type="checkbox"/>	-Y	Modal distribution	62,43	3,67	5,45	3,67	4,09	0,50	1,450	1,105	0,710	1,485
24	<input checked="" type="checkbox"/>	-Y	Modal distribution	-62,43	2,97	3,75	2,97	2,81	0,43	1,230	0,955	0,822	1,263

NELINEARNE V-d KRIVULJE

Jednolika i linearna raspodjela



Modalna raspodjela



Smjer x – br.16, modalna raspodjela

Result details

NC
×

dt 0,86 [cm] > dm 0,45 [cm]
 qu = 1,58 dm/dt = 0,52
Not satisfied verification

SD

dt 0,86 [cm] > dm 0,34 [cm]
Not satisfied verification

DL

Sd 0,11 [cm] <= d*y 0,14 [cm]
Satisfied verification

Limit state	PGA [m/s ²]	α
NC	1,559	0,725
SD	1,396	0,650
DL	1,358	1,258

Code

Exit

Analysis parameters

T* [s]	0,132
m* [kg]	141600
w [kN]	8757,83
M [kg]	892745
m*/M [%]	15,861
Γ	2,22
F*y [kN]	446,8
d*y [cm]	0,14
d*m [cm]	0,2

Smjer y – br.19, linearna raspodjela

Result details

NC

dt 5,88 [cm] > dm 2,10 [cm]
 qu = 2,80 dm/dt = 0,36

Not satisfied verification

SD

dt 5,88 [cm] > dm 1,58 [cm]

Not satisfied verification

DL

Sd 1,30 [cm] > d*y 0,93 [cm]

Not satisfied verification

Limit state	PGA [m/s ²]	α
NC	0,768	0,357
SD	0,576	0,268
DL	0,768	0,711

Analysis parameters

T* [s]	0,477
m* [kg]	171765
w [kN]	8757,83
M [kg]	892745
m*/M [%]	19,24
Γ	2,27
F*y [kN]	276,8
d*y [cm]	0,93
d*m [cm]	0,93

a_g za $T=475g \rightarrow 0.22g$

$a_u = 0.078 g$

Code

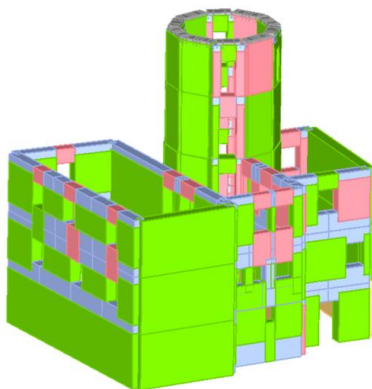
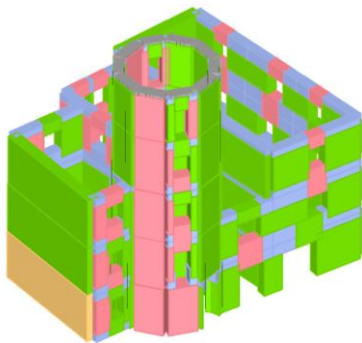


Exit



STATUS OŠTEĆENJA

Smjer x

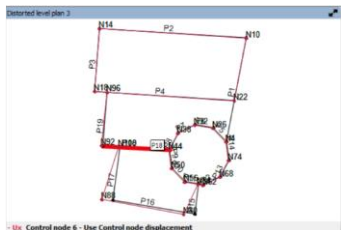
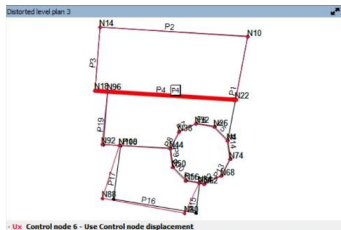
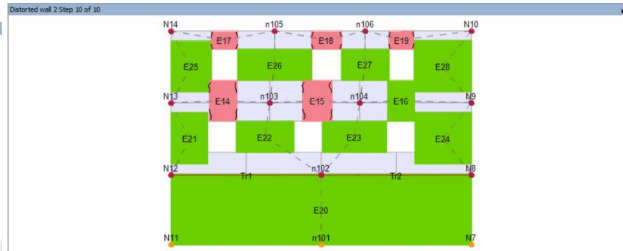
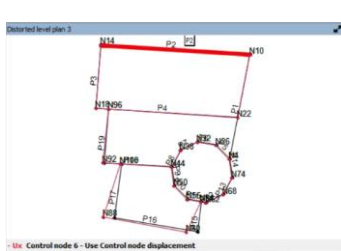


Legend

Masonry	
Green	Undamaged
Yellow	Shear damage
Orange	Shear failure
Red	Bending damage
Dark Red	Bending failure
Purple	Compression failure
Blue	Tension failure
Teal	Failure during elastic phase

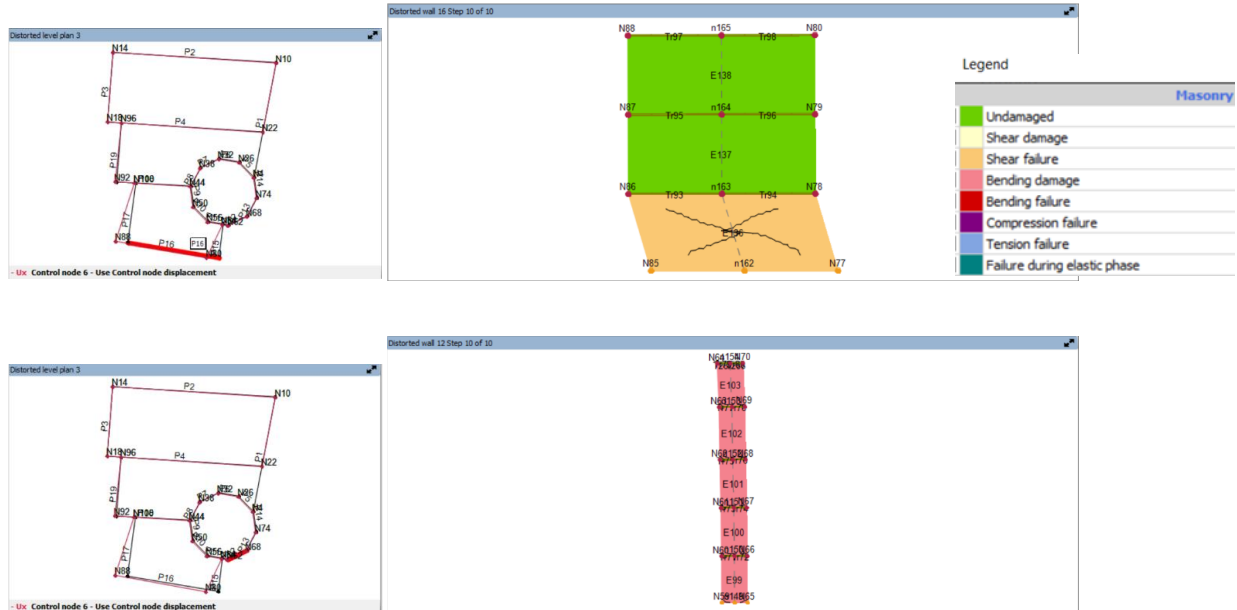
STATUS OŠTEĆENJA

Smjer x



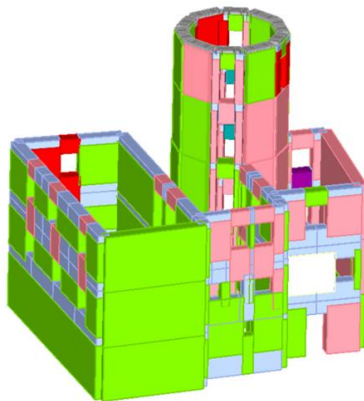
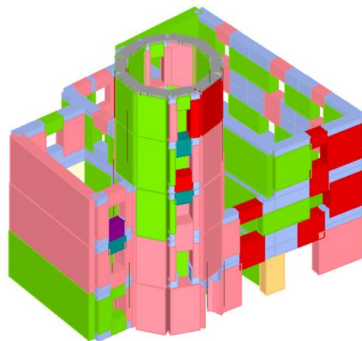
STATUS OŠTEĆENJA

Smjer x



STATUS OŠTEĆENJA

Smjer y

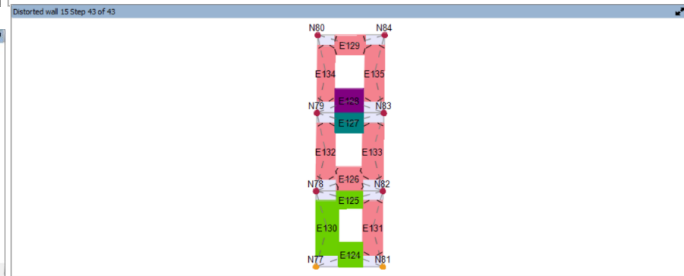
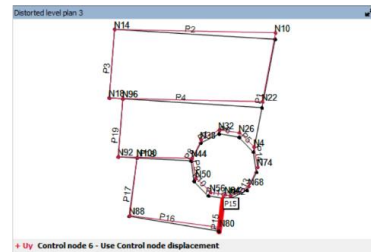
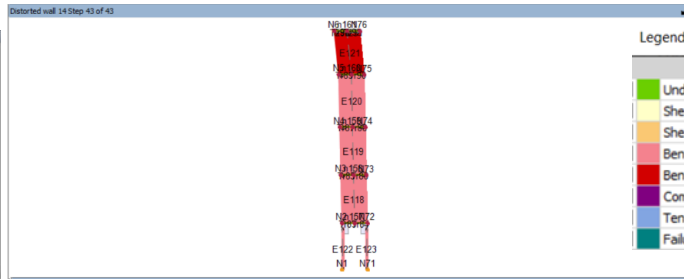
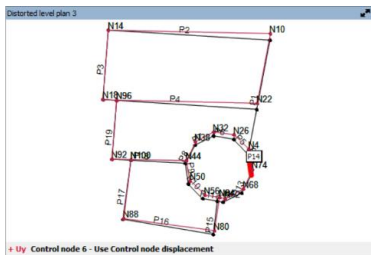
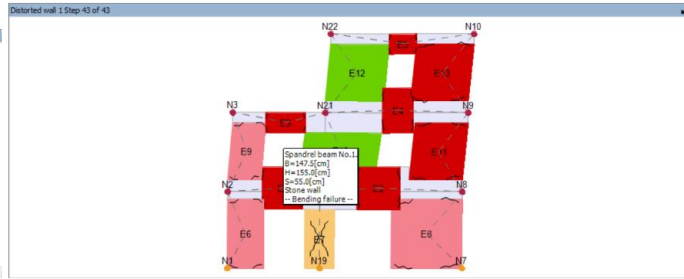
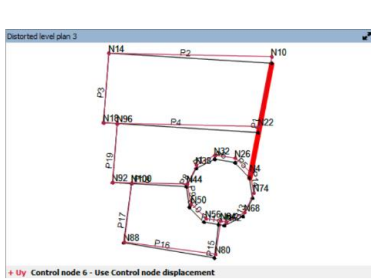


Legend

	Masonry
Undamaged	
Shear damage	
Shear failure	
Bending damage	
Bending failure	
Compression failure	
Tension failure	
Failure during elastic phase	

STATUS OŠTEĆENJA

Smjer y

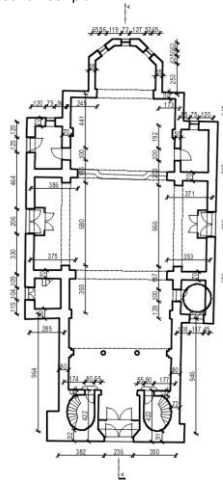


NELINEARNI STATIČKI PRORAČUN – Crkva Sv. Mihovila

Building name:	Saint Mihovil church
Building type:	Public
Structure type:	stone walls, timber floors, timber roof
Construction period:	XVI century
Changes of the structure:	
Period of changes:	
Data collection methods:	Visual inspection, architectural measurements, standards at the time of construction, photos, google maps, geoportall.dgu
Location:	c.p. 783, c.m. Kaštel Kambelovac



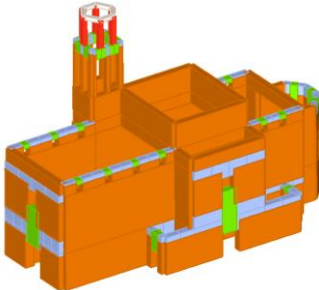
Ground floor plan:



Section cut:



Structural model:

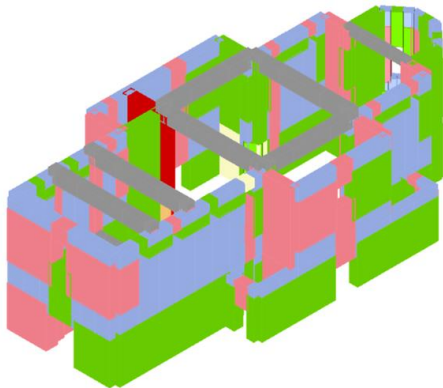
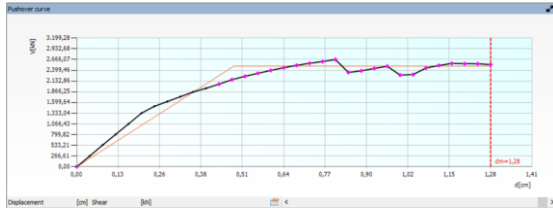


Rendered model:



... Nelinearni statički proračun – Crkva Sv. Mihovila

Smjer x



Result details

NC
 dt 1,23 [cm] > dm 0,40 [cm]
 qu = 3,03 dm/dt = 0,33
Not satisfied verification

SD
 dt 1,23 [cm] > dm 0,30 [cm]
Not satisfied verification

DL
 Sd 0,29 [cm] > d*y 0,19 [cm]
Not satisfied verification

Limit state	PGA [m/s ²]	α
NC	0,953	0,443
SD	0,808	0,376
DL	0,709	0,656

Analysis parameters

T* [s]	0,188
m* [kg]	1582630
w [kN]	24631,98
M [kg]	2510913
m**M [%]	63,03
Γ	1,21
F*y [kN]	3364,86
d*y [cm]	0,19
d*m [cm]	0,33

$a_u = 0.097 \text{ g}$

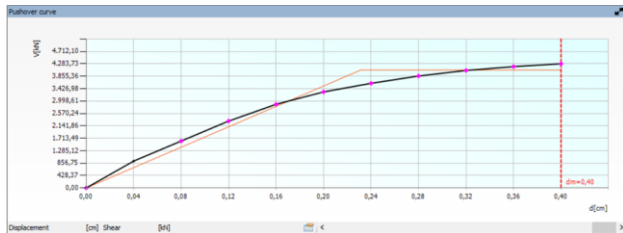
Code Exit

Legend

Masonry	
■	Undamaged
■	Shear damage
■	Shear failure
■	Bending damage
■	Bending failure
■	Compression failure
■	Tension failure
■	Failure during elastic phase

... Nelinearni statički proračun – Crkva Sv. Mihovila

Smjer y



Result details

NC
 dt 1,23 [cm] > dm 0,40 [cm]
 qu = 3,03 dm/dt = 0,33
Not satisfied verification

SD
 dt 1,23 [cm] > dm 0,30 [cm]
Not satisfied verification

DL
 Sd 0,29 [cm] > d*y 0,19 [cm]
Not satisfied verification

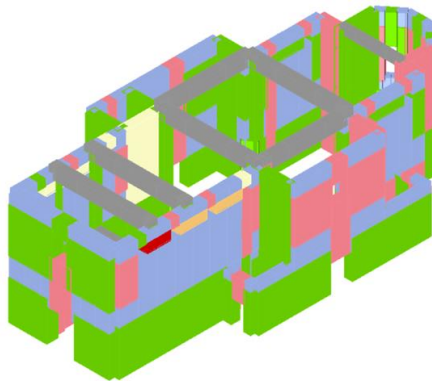
Limit state	PGA [m/s ²]	α
NC	0,953	0,443
SD	0,808	0,376
DL	0,709	0,656

Analysis parameters

T* [s]	0,188
m* [kg]	1582630
w [kN]	24631,98
M [kg]	2510913
m*/M [%]	63,03
Γ	1,21
F*y [kN]	3364,86
d*y [cm]	0,19
d*m [cm]	0,33

$$a_u = 0.091 \text{ g}$$

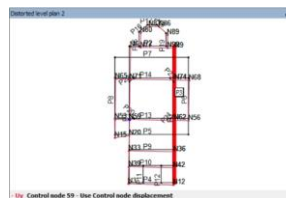
Code ?



Legend

Masonry

- Undamaged
- Shear damage
- Shear failure
- Bending damage
- Bending failure
- Compression failure
- Tension failure
- Failure during elastic phase



... NELINEARNI STATIČKI PRORAČUN

Veslački klub

Building name:	Rowing club
Building type:	Public
Structure type:	stone walls, concrete floors, timber roof
Construction period:	XX century
Changes of the structure:	Part added on the east, concrete walls, concrete slab
Period of changes:	XX century
Data collection methods:	Visual inspection, architectural measurements, standards at the time of construction, iphotos, google maps, geoportal.dgu
Location:	c.p. *330; c.m. Kaštel Kambelovac



$$a_u = 0.141 g$$

... NELINEARNI STATIČKI PRORAČUN

Vrtić

Building name:	Kindergarten
Building type:	Public
Structure type:	stone walls, timber floors, timber roof
Construction period:	XIX century
Changes of the structure:	Strengthening floors with concrete slab
Period of changes:	
Data collection methods:	Visual inspection, architectural measurements, standards at the time of construction, iphotos, google maps, geoportal.dgu
Location:	c.p. 232, c.m. Kaštel Kambelovac



$$a_u = 0.092 \text{ g}$$

... NELINEARNI STATIČKI PRORAČUN

Knjižnica

Building name:	Library
Building type:	Public
Structure type:	stone walls, timber floors, timber roof
Construction period:	XIX century
Changes of the structure:	Part added on the south
Period of changes:	XX century
Data collection methods:	Visual inspection, architectural measurements, standards at the time of construction, iphotos, google maps, geoportal.dgu
Location:	c.p. *48; c.m. Kaštel Kambelovac



$$a_u = 0.080 \text{ g}$$

... NELINEARNI STATIČKI PRORAČUN

Baletna škola

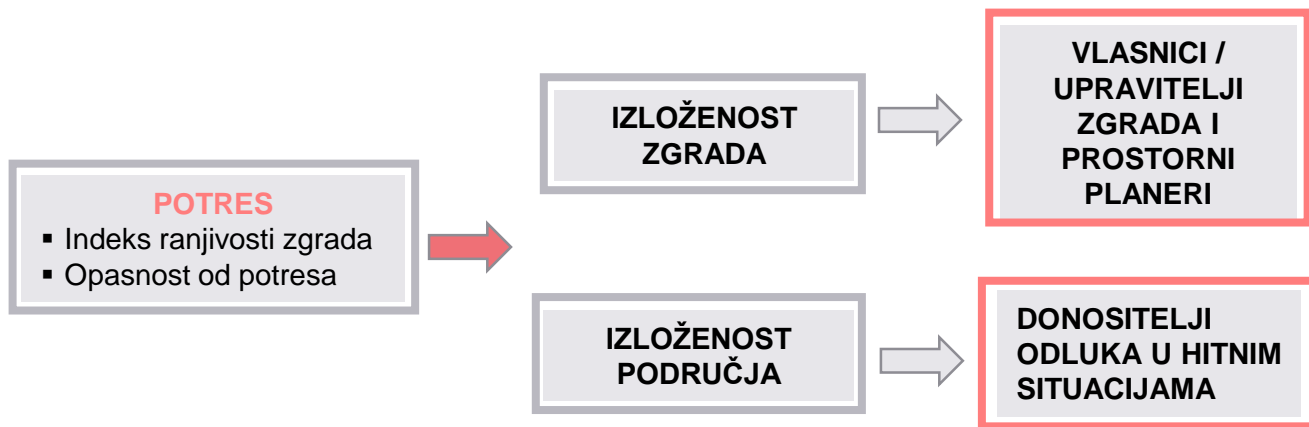
Building name:	Balet school, Don Frane Bege 1
Building type:	Residential
Structure type:	stone walls, concrete floors, lightweight concrete ribbed roof
Construction period:	XIX century
Changes of the structure:	
Period of changes:	
Data collection methods:	Visual inspection, architectural measurements, standards at the time of construction, iphotos, google maps, geoportal.dgu
Location:	c.p. *244; c.m. Kaštel Kambelovac



$$a_u = 0.183 \text{ g}$$

VAŽNOST METODOLOGIJA ZA PROCJENU IZLOŽENOSTI OPASNOSTIMA

- Metodologija za procjenu potresne ranjivosti može se koristiti za definiranje mapa potresne ranjivosti zgrada koje mogu pomoći pri definiranju prioriteta u sanaciji
- Daljni postupak: nelinearni proračuni, eksperimentalna ispitivanja, projektiranje rekonstrukcijskih zahvata



Hvala na pažnji!

Prof. dr. sc. Željana Nikolić
Sveučilište u Splitu, Fakultet građevinarstva, arhitekture i geodezije
E-mail: zeljana.nikolic@gradst.hr